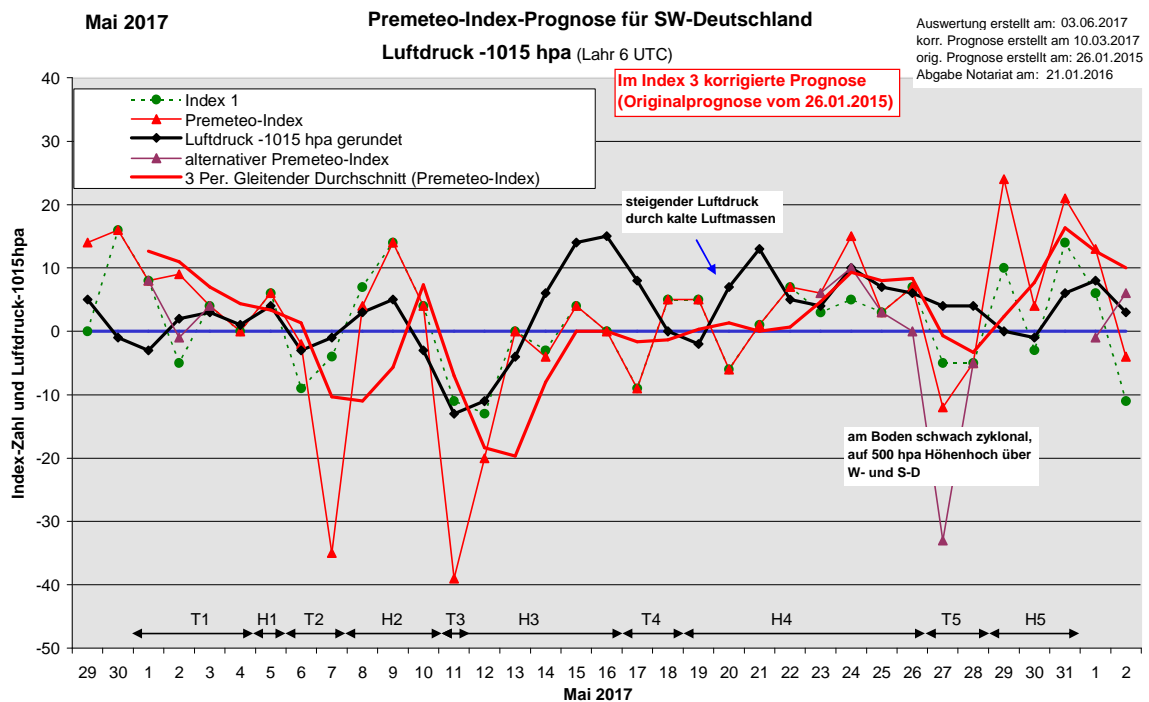
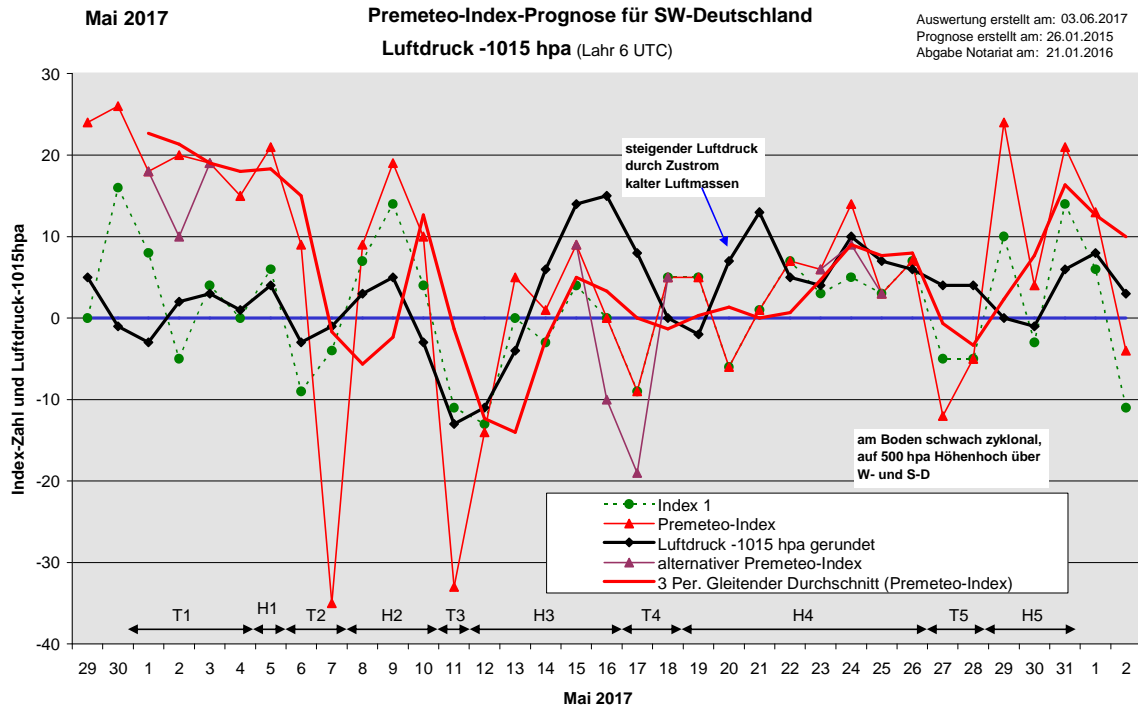


Wetterlagenverlauf Mai 2017 im Vergleich zur Premeteo-Indexprognose für Südwest-Deutschland

(Im Diagramm sind über der Datumsachse die real eingetreten Hoch- und Tiefdruckphasen durch Doppelpfeile eingetragen. Ausschlaggebend für die Evaluation ist der tägliche Premeteo-Index, in der dünneren, roten Linie mit Dreieckspunkten dargestellt. Ein negativer Premeteo-Index zeigt die Wahrscheinlichkeit für eine zyklonale Tiefdruckströmung, ein positiver Premeteo-Index die Wahrscheinlichkeit für eine antizyklonale Hochdruckströmung an.

Die Wetterlagenbeschreibungen wurden anhand der Berliner Wetterkarten erstellt. Ausschlaggebend ist die Europa-Bodenkarte um 0 UTC, die feiner skalierte 12 UTC-Karte von Mitteleuropa wird nur bei einem Wetterlagenwechsel für die Einordnung des Tages hinzugezogen. Am Ende des Dokuments befinden sich die Tabellen und Konstellationen, die dem Diagramm zugrunde liegen.)



Zusammenfassung: Die Auswertung der Prognose Mai 2017 ist zufriedenstellend ausgefallen. 23 bzw. 24 Tage bei der im Index 3 korrigierten Prognose bezüglich des Typs der Wetterlage waren richtig vorherberechnet worden. Erfreulich ist vor allem, dass sich die Korrektur des Index 3, der sich dadurch etwas vereinfacht, insgesamt weiterhin bewährte. Bei der Symbolprognose machte das drei Tage mehr bei den richtig prognostizierten Tagen aus und bei der Berechnung des mittleren Premeteo-Index pro Tag der realen Hoch- und Tiefdruckwetterlagen ergab sich ebenfalls ein deutlich besseres Ergebnis (siehe genaue Werte am Ende der Beschreibung der Wetterphasen).

Sehr schön zeigen die Auswertungsdiagramme, dass sich die jeweils kurzen Tiefdruckphasen T2, T3, T4 und T5 recht genau mit den negativen Spitzen des Premeteo-Index vollzogen haben. Etwas problematisch war die Zuordnung der letzten Phasen vom 27. bis 30. Mai. Diese Tage waren Grenzfälle und man musste sehr genau hinschauen. Der Verlauf der Luftdruckkurve wirkte hier etwas irritierend, da bei Zustrom warmer Luftmassen der Luftdruck auch in antizyklonalen Phasen absinken kann.

Temperatur-Maxima von über 25°C wurden in der Oberrhein-Region am 16., 17. und 23. erreicht. Dies geschah unter anderem mit dem Exaktwerden der Aspekte Sonne 0° Sedna in 72° zu Neptun, Sonne 30° Uranus, Neptun 150° Jupiter. Auf über 30° kletterte das Thermometer vor allem am Ende der Phase vom 27. bis 30. Mai. Hier war es verbunden mit Merkur 60° Neptun und Venus 0° Eris in 180° zu Haumea. Besonders kalte Tage waren der 8. bis 10. Mai, als Saturn die exakte Konjunktion mit dem Galaktischen Zentrum und Venus die Konjunktion mit Uranus vollzog. Mit Venus 180° Jupiter, Sonne 90° aufsteigender Mondknoten und Venus 45° Sonne kühlte es am 19. und 20. Mai ebenfalls noch mal kräftig ab.

Der höchste Luftdruck des Monats wurde am 15. und 16. erreicht mit Venus 120° Apogäum H, Sonne 144° Quaoar H, und Sonne 0° Sedna A. Der tiefste Luftdruck am 11. Mai trat ein mit Mars 144° Pluto T, Sonne 144° Jupiter T und Saturn T, sowie Mars 90° Neptun Tf.

Beschreibung der einzelnen Wetterphasen:

Tiefdruckphase 1: Der Mai 2017 begann für Südwestdeutschland mit einer zyklonalen Strömung durch Tief Utz über dem Ärmelkanal. Merkur, der sich in einer rückläufigen Schleifenbewegung befand, kam gerade in seiner Positionierung zwischen Uranus und Eris in den relativen Bewegungsstillstand, um dann am 3. Mai wieder in die rechtläufige Bewegung überzugehen. Am 2. Mai hatte sich Tief Utz in drei Kerne über Nordwestfrankreich, Ostdeutschland und Nordwestbalkan zerspalten. Der im Index 3 korrigierte Premeteo-Index lag dem realen Wetterverlauf näher als der unkorrigierte Index. Beide hatten positive Werte, aber beim korrigierten Index lagen sie deutlich tiefer und die Symbolprognose erwies sich hier noch als tendenziell richtig. Andererseits waren der Index 1 und vor allem der alternative Index 1 negativ, da hier der noch relativ unbekannte Aspekt Neptun 72° Sedna als T*-Aspekt angerechnet wurde. So sprach der Wetterverlauf dafür, dass er tatsächlich einen zyklonalen Impuls trägt. Am 3. lag der Kern von Tief Utz über Nordwestdeutschland. Auffallend war die ausgeprägte Tiefdruckzelle auf 500 hpa, deren Kältepol in den ersten drei Tagen des Monats über Frankreich, Deutschland und der Schweiz kreiste. Am 4. lag der Kältepol über Ostfrankreich und in der Bodenatmosphäre lag das okkludierte Tief Victor über Süddeutschland. Es kam zu weiteren Schauern. Der Premeteo-Index summierte über die 4-tägige Tiefdruckphase auf +72 / korr. +21.

Hochdruckphase 1: Hoch Sonja mit Kern über dem Nordmeer wurde am 5. Mai vorübergehend bis in unsere Region wetterwirksam. Im Diagramm mit dem korrigierten Index wurde diese Verlaufsbeziehung sehr übereinstimmend prognostiziert. Der Premeteo-Index hatte einen Wert von +21 / korr. +6.

Tiefdruckphase 2: Tief Werner mit Kern bei Nordwestfrankreich bewegte sich vom 6. zum 7. Mai nach Westdeutschland und brachte kühles, nasses Maiwetter. Die auffallende negative Spitze des Premeteo-Index von -35 in beiden Prognosen am 7. kam aus zwei Symmetrien der Sonne von 16 und 18 UTC des Vortags, als der reale Tiefdruckdurchgang

auch sein Luftdruckminimum aufwies. Die Sonne befand sich in 135° zu Quaoar, sowie zu Makemake und dem Supergalaktischen Zentrum (GSZ). Die zugrunde liegenden Winkelbeziehungen tragen alle einen zyklonalen Impuls und zeigten, welcher ausgeprägten Lokalbezug sie tatsächlich zur südwestdeutschen Region haben. Der Premeteo-Index summierte über die 2-tägige Tiefdruckphase auf -26 / korr. -37 .

Hochdruckphase 2: Ein Hoch über Grönland dehnte am 8. Mai seinen Einfluss bis über das westliche Europa aus. Es kam in der Nacht und am Vormittag noch zu Niederschlägen und erst am 9. lockerte es bei milder werdenden Temperaturen allmählich auf. Ein Kern des Hochs lag am 10. über Südengland, ein weiteres Hoch befand sich über Österreich, doch fiel der Luftdruck schon an diesem Tag durch Tief Zeno über dem Ostatlantik, das seinen Einfluss nach Frankreich ausdehnte. Die 3-tägige Hochdruckphase summierte auf $+38$ / korr. $+22$.

Tiefdruckphase 3: Am 11. erreichte Tief Zeno mit Kernen über dem Ostatlantik und der Biskaya die Region und hatte sich bis 0 UTC am 12. über ganz Deutschland ausgedehnt. Dies war ganz in Übereinstimmung mit dem Premeteo-Index, der am 11. eine steile Spitze in den negativen Bereich zeigte und auch am 12. noch negativ war. Um 12 UTC des 12. befand sich Südwestdeutschland aber bereits in einer ganz flachen, antizyklonalen Strömung, so dass dieser Tag gemäß der Premeteo-Regel schon zur folgenden Hochdruckphase gezählt werden musste. Der Premeteo-Index hatte am 11. einen Wert von -33 / korr. -39 .

Hochdruckphase 3: Das Azorenhoch rückte am 12. bereits nach Osten vor und hatte am 13. einen flachen Keil bis an den Südwestrand unserer Region ausgebildet. Am 14. lag dann Hoch Tilly mit seinem Kern über Südfrankreich und brachte warme Luftmassen, die Gewitter verursachten. Der Kern des Hochs wanderte am 15. über die Schweiz nach Deutschland und erreichte am 17. Österreich. Auffallend warme Luftmassen erreichten unsere Region. In den Städten des Oberrheins kletterten die Temperaturen am Nachmittag in diesem Jahr zum ersten Mal bis auf über 30°C . Dabei befand sich die Sonne in exakter Konjunktion mit Sedna und beide zugleich standen in 72° zu Neptun. Am 17. vollzog sich bis 12 UTC dann aber schon der Strömungswechsel. Die im Index 3 korrigierte Prognose lag in dieser Wetterphase deutlich zu tief. Der Premeteo-Index summierte über die 5-tägige Hochdruckphase auf $+1$ / korr. -20

Tiefdruckphase 4: Der Übergang in die Zyklonalität durch Tief Christian über Südengland vollzog sich am 17. schon bis 12 UTC bei negativem Index, aber der tiefste Druck wurde erst am 18. erreicht, als sich der Premeteo-Index bereits wieder im positiven Bereich befand. Der Premeteo-Index summierte über die 2-tägige Tiefdruckphase auf -4 .

Hochdruckphase 4: Um 0 UTC des 19. lag noch Tief Dankmar mit dem einen Kern über Süddeutschland, mit dem anderen Kern über den Benelux-Ländern. Bei anhaltendem Regen, kräftigem Luftdruckanstieg und starker Abkühlung dehnte sich das Azorenhoch jedoch schon bis 12 UTC über den südwestdeutschen Raum aus. Am 20. bildete das Hoch einen Kern über Süddeutschland und erhielt den Namen Vesna. Auf 500 hpa wurde für diesen Tag und bei einem Premeteo-Index von -6 der Vorstoß eines Tiefdrucktrogs von Nordwesten bis über unsere Region auffallend. Sein Kältepol lag über Nordwestfrankreich. Das Hoch der Bodenatmosphäre wanderte bis zum 22. nach Norddeutschland. Am 23. wechselte unsere Region in den Isobarenbereich von Hoch Walrita, das sich mit seinem Kern von der Biskaya zum Ärmelkanal bewegte. Dieser Moment des Luftmassenwechsels, der durch ein deutliches Absinken des Luftdrucks gekennzeichnet war, vollzog sich, als Merkur an diesem Tag sowohl einen exakten Hf- als auch einen Tf-Aspekt bildete (siehe Tabelle der Aspekte). Am 24. erreichte der Luftdruck in Übereinstimmung mit dem Verlauf des Premeteo-Index das Maximum dieser Hochdruckphase. Langsam verlagerte sich der Kern des Hochs Walrita über Südostengland nach Nordwestdeutschland und erreichte am 27. Nordostdeutschland. Der Premeteo-Index summierte über die 8-tägige Hochdruckphase auf $+37$ / korr. $+38$.

Tiefdruckphase 5: Am 27. übte ein Tief mit Kern über Südwestengland seinen zyklonalen Einfluss über Frankreich aus und krümmte die 1020er Außenisobare von Hoch Walrita im Bereich von Südwestdeutschland leicht zu seinem Kern. Die Berliner Bodenwetterkarte am Mittag und auch die Bodenkarten des 28. zeigten für unsere Region eine ganz flache, zyklonale Strömung. Auf 500 hpa hatte sich dagegen ein kräftiger Hochdruckkeil mit Kern

über West- bzw. Süddeutschland ausgebildet. In dieser Konstellation kam es zu einer starken Erwärmung der Atmosphäre. Die zyklonalen Impulse von Merkur und Juno kamen in der Bodenatmosphäre nur schwach an, während der antizyklonale Impuls von Jupiter 45° aufst. Mondknoten sich kräftig auf 500 hpa zu manifestieren schien. Das Wetter mit viel Sonnenschein hatte einen antizyklonalen Charakter. Der Premeteo-Index summierte auf -17. **Hochdruckphase 5:** Bei weiterer, starker Erwärmung der Atmosphäre und fallendem Luftdruck lag die Region am 29. um 0 UTC im Strömungsbereich des flachen Tiefs Gerhard über Nordwestfrankreich, doch zeigte die Mittagskarte, dass sich unsere Region bereits wieder mit einer schwachen, antizyklonalen Tendenz zwischen einer flachen T-Zelle über den Beneluxländern und einer T-Zelle über dem Voralpengebiet befand. Auf 500 hpa herrschte weiterhin ein kräftiger Hochdruckkeil, ebenso am 30. Mai. Die 0-UTC Karte zeigte die Region im Grenzbereich zwischen der schwachen, antizyklonalen Mittelmeerströmung und dem Zwischenhochbereich von Tief Gerhard mit Kern über der Nordsee. Um 12 UTC lag die Region unter einem schmalen Höhenkeil von Westen. So wurden der 29. und 30. der Hochdruckphase zugerechnet, aber beide Tage sind Grenzfälle und entsprechend war auch das Wetter. Neben viel Sonnenschein traten lokal auch Gewitter auf. Am 31. verstärkte sich die Antizyklonalität durch Hoch Xenia über Großbritannien deutlich und die starke Hitze der vergangenen Tage hatte sich abgebaut. Auf 500 hpa zeigte der noch immer bestehende Höhenkeil Abbautendenzen. Der Premeteo-Index summierte über 3-tägige Hochdruckphase auf +49.

SW-D befand sich an 20 Tagen im Einflussbereich antizyklonaler Strömung. Die Summe des prognostizierten Premeteo-Index für diese Tage ergab +146 / korr. +95. Dies entsprach einer Indexzahl von +7,3 / korr. +4,75 pro Tag.

An 11 Tagen befand sich SW-D im Einflussbereich zyklonaler Strömung. Die Summe des prognostizierten Premeteo-Index für diese Tage ergab -8 / korr.-76. Dies entsprach einer Indexzahl von -0,73 / korr. -6,91 pro Tag.

Die Prognose durch die Premeteo-Wettersymbole war an 4 Tagen / korr. 1 Tag falsch (am 1., 3., 4., 27. / korr. nur am 27.), an 9 / korr. 12 Tagen richtig und an 18 / korr. ebenfalls 18 Tagen tendenziell richtig.

Es folgen die Tabellen:

03.06.2017
Mai 2017
01.05.2017



Prognose für SW-Deutschland

Das Besondere des Mai 2017 ist die weiterhin den ganzen Monat bestehende Konjunktion von Makemake mit dem Supergalaktischen Zentrum. Die Konjunktion von Saturn mit dem Galaktischen Zentrum bleibt bis zum 25. Mai im 1^o-Toleranzbereich.
 Vom 1. bis zum 8. sehr dichte Positionierung zwischen Merkur, Eris und Uranus.
 Vom 28. bis zum 30. sehr dichte Positionierung zwischen Venus, Pallas und Eris.
 Der unbekannte Aspekt Haumea 180° Eris ?* vermindert die Prognosesicherheit vom 2. bis zum 5. und am 30. und 31. Mai.

Langsamläufer-Impulse		T?*		H*		H*		2H*		H*	
Schnellläufer-Impulse	2H	2T	H		H, Tf	H	2T	Hf		2T, H	
Temperaturimpulse		W		W	K					K	
Premeteo-Index - zyklonal, + antizyklonal (Index 1+2+3)	18	20	19	15	21	9	-35	9	19	10	
Pre.IX (ALTERNATIV)		10									
Index 1 (12 - 12 UTC) exakte Aspekte des Tages	8	-5	4	0	6	-9	-4	7	14	4	
Index 1(ALTERNATIV)		-15									
Symmetrien (0 - 0 UTC)	Pal 14 Ura Chi (14) H* (83) --- Mer 1 Ura Eri (17) A H +7	Qua 151 Ves Cer (16) H* A* T? +7 Jup 75 Ves Qua (21) H* ---				Mer 1 Ura Eri (12) A H +7 Son 136 Qua Mak (16) Tt T ? -14 Son 136 Qua GSZ (18) Tt T ? -14	Jup 10op Ven Mer (10) H A +7?	Sed 8 Son Cer (10) A T? -7? Ven 8 Chi Pal (20) Tst A ---	Jup 9op Ven Eri (00) H A*(5/5,5) +7? Son 23 Mar Mer (08) H --- Jup 72 Ves GaZ (22) A* A* H* ---	GSZ 5op Ven Chi (10) A ? --- Cer 9 Mar Sed (14) A T? -7?	
Index 2 (12-12 UTC)	0	14	0	0	0	7	-28	0	0		
Index 2 ALTERNATIV											
ausgelöste LL-Aspekte	Ura 30 Sed A?(3/3) Nep 135 Var H*(11/3,5) +10	Eri 135 Apo H11 Hau 180 Eri ?*	Mar 45 Eri H4 Eri 135 Apo H11 Hau 180 Eri ?*	Mar 45 Eri H4 Eri 135 Apo H11 Hau 180 Eri ?*	Mar 45 Eri H4 Eri 135 Apo H11 Hau 180 Eri ?*	Eri 135 Apo H11	Son 135 GSZ T-3	Son 135 GSZ T-3 Cer 135 Plu H5 Ura 30 Sed A?(3/3)	Cer 135 Plu H5 Ura 30 Sed A?(3/3)	Mar 144 Plu T-4 Cer 135 Plu H5 Ves 144 GaZ H5 Ura 30 Sed A?(3/3)	
Index 3 (Summe)	10	11	15	15	15	11	-3	2	5	6	
Index 3 ALTERNATIV											
Symbol-Prognose	2	2	2	2	2	3	3	3	2	2	
Symbol-Prognose altern.	2	2	2	2	2	3	3	3	2	2	
Wochentag	Mo	Di	Mi	Do	Fr	Sa	So	Mo	Di	Mi	
Datum	1	2	3	4	5	6	7	8	9	10	
reale Wetterlage	T1: T?*, 2T - H*, 3H / +72			H1: H - Tf / +21			T2: 2T - H*, H / -26		H2: 3H*, Hf, H - 2T / +38		
Luftdruck (hpa) 06 UTC	1012,1	1016,8	1018,3	1016,2	1019,2	1012,3	1014,1	1018,3	1019,9	1011,8	
mittl. Temp.(°C)	9,2	11,5	11,8	10,7	13,3	11,6	12,4	10,4	9,9	12,5	
Sonnenscheindauer (h)	0	6,8	4	1,9	9,3	1,2	0	0	6,7	13,9	
Niederschlag (Liter)	10 / 6	0,4 / ...	0,4 / 7	2,2 / 3,5	0 / 2,5	12,8 / 12	9 / 9	1,7 / 13,5	0 / 1	0,1	
Bodenwetterlage 00 UTC (Kernlage des Druckgebiets, das SW-D beeinflusst)	T ü Ärmel	T ü NW-F, T ü O-D, T ü Balk	T ü NW-D	okkl T ü S-D	H ü Nm T ü Balk	T vor NW-F	T ü W-D	H ü Grönl, T ü Weiss-R	H ü N-Atl	H ü Österr, H ü S-GB	
Bodenströmung 12 UTC zyklonal (z), antizyklonal (a)	fl a	fl z	z	z	a	z	fl z	fl a	a	fl a	
Strömung auf 500 hpa 00 UTC	SW z	W z	z	z	z	NW a-z	z	NW z	fl z	NW a-z	
zutreffende Wettersymbole	5 f	3 hr	5 f	5 f	3 hr	3-5 hr	5 hr	5 hr	2-5 hr	2 r	

Übertrag
 Index 1: +5
 Index 2: 0

01:42 CER 150 QUA ZWI 00°34'41" STE 00°34'41" A*	00:48 SON 72 KN2 STI 11°49'09" WAS 29°49'09" T W -3	03:58 VEN 180 GSZ WID 02°18'12" WAA 02°18'12" A	00:52 SON 60 NEP STI 13°45'42" FIS 13°45'43" A W	00:11 MER 45 MAR WID 24°19'59" ZWI 09°19'59" H +1	15:00 PAL 144 ORC WID 13°08'24" JUN 07°08'23" H* +5	01:54 MAR 45 URA ZWI 10°44'49" WID 25°44'49" A	06:13 SAT 0 GaZ SCH 26°59'16" WID 25°44'49" H* (7,5/0,5) +7	10:04 MAR 144 JUN ZWI 12°20'26" STE 18°20'26" A	00:40 MER 30 SED WID 25°49'19" STI 25°49'20" T -1
10:00 VEN 72 PLU WID 01°22'10" STE 19°22'09" A	04:57 SON 135 GaZ STI 11°59'14" SCH 26°59'14" A	11:19 JUP 72 SAT WAA 15°12'14" SCH 27°12'15" A*	07:12 MAR 180 APO ZWI 08°50'58" SCH 08°50'57" A	06:27 MAR 72 CHI ZWI 09°30'41" FIS 27°30'42" A	19:20 SON 72 VAR STI 16°26'39" KRE 28°26'40" H---	12:06 SON 135 FY9 STI 17°07'13" WAA 02°07'12" T -3	09:21 VEN 144 KN1 WID 05°28'57" LOW 29°28'57" A	14:01 VES 60 FY9 WID 02°05'39" WAA 02°05'39" A*	03:42 PLU 135 CER STE 19°18'17" ZWI 04°18'17" H* +5
14:14 SON 30 PAL STI 11°23'31" WID 11°23'31" H +3	06:22 NEP 72 SED FIS 13°43'17" STI 25°43'18" T?*(0,5/2) 0 / -10	12:08 MAR 135 EL6 ZWI 08°18'21" WAA 23°18'21" A	17:20 VES 150 QUA LOW 00°32'08" STE 00°32'07" H* +5	06:54 CER 120 GSZ ZWI 02°18'11" WAA 02°18'12" A*	16:38 SON 135 GSZ STI 17°18'10" WAA 02°18'11" T -6 ↓	17:07 NEP 30 PAL FIS 13°51'43" WID 13°51'43" H* (7,5/0,5) +5	18:25 SON 120 PLU STI 19°18'30" STE 19°18'30" A*	05:14 VES 60 GSZ LOW 02°18'10" WAA 02°18'11" A*	
20:18 MAR 90 ORC ZWI 07°10'09" JUN 07°10'09" H +4	08:25 VES 30 KN1 KRE 29°48'08" LOW 29°48'08" A*	15:41 MAR 45 ERI ZWI 08°24'26" WID 23°24'25" H +4	22:10 CER 120 FY9 ZWI 02°09'14" WAA 02°09'14" A*	08:01 SON 150 JUP STI 15°01'10" WAA 15°01'09" A K	15:53 CER 135 JUN ZWI 03°19'42" STE 18°19'42" A*	18:48 SON 120 JUN STI 18°20'14" STE 18°20'15" Hf +9	05:30 MER 0 URA WID 25°54'59" WID 25°54'59" A K		
11:20 SON 135 SAT STI 12°14'43" SCH 27°14'43" T -6	14:58 SON 45 CHI STI 12°23'31" FIS 27°23'30" A	22:39 VEN 180 FY9 WID 02°10'51" WAA 02°10'51" A	20:27 SON 135 QUA STI 15°31'16" STE 00°31'17" Tf -9	23:17 URA 30 SED WID 25°47'43" STI 25°47'43" A?(3/3)	18:18 PAL 135 KN1 WID 14°23'06" LOW 29°23'06" A*	15:49 JUP 180 PAL WAA 14°31'60" WID 14°31'59" A*			
							19:04 VEN 150 ORC WID 07°07'14" JUN 07°07'14" H +2		
							19:52 MAR 144 PLU ZWI 13°17'53" STE 19°17'54" T -4		
							20:42 JUP 72 VES WAA 14°30'58" LOW 02°30'58" A*		

Mai 2017



Prognose für SW-Deutschland

Das Besondere des Mai 2017 ist die weiterhin den ganzen Monat bestehende Konjunktion von Makemake mit dem Supergalaktischen Zentrum. Die Konjunktion von Saturn mit dem Galaktischen Zentrum bleibt bis zum 25. Mai im 1°-Toleranzbereich.
Vom 1. bis zum 8. sehr dichte Positionierung zwischen Merkur, Eris und Uranus.
Vom 28. bis zum 30. sehr dichte Positionierung zwischen Venus, Pallas und Eris.
Der unbekannte Aspekt Haumea 180° Eris ?' vermindert die Prognosesicherheit vom 2. bis zum 5. und am 30. und 31. Mai.

Langsamläufer-Impulse		H*					T*	H*		H*	
Schnellläufer-Impulse	2T, Tf	T	T	H, T	H	T		Hf, T, H	3T, 2H	T	
Temperaturimpulse	W				W	W	K?, W		K	K	
Premeteo-Index -zyklonal, + antizyklonal (Index 1+2+3)	-33	-14	5	1	9	0	-9	5	5	-6	
Pre.IX (ALTERNATIV)							-10	-19			
Index 1 (12 - 12 UTC) exakte Aspekte des Tages	-11	-13	0	-3	4	0	-9	5	5	-6	
Index 1 (ALTERNATIV)											
Symmetrien (0 - 0 UTC)	Son 144 Jup Sat (04) T W T A* -14 Son 144 Jup GaZ (06) T W A A* -7 Jup 76 Var Qua (10) Tst* --- Sat 144 Son Ves (11) T A* A* 7 Ves 72 Son Jup (13) A A* T W -7 GaZ 144 Son Ves (18) A H* A --- Son 67 Nep Var (18) H*(11/3,5) --- Mer 29 Chi Sed (21) A T ? ---	Ven 60p Jup Mak (08) H A +7? Ven 60p Jup GSZ (12) H A +7?		Ura 3 Eri Mer (17) A*(2/1) A Auslösung Index3	Hau 70p Pal Mer (23) A* H +7?		Eri 7 Pal Mer (17) A* H +7? Jup 30p Ven Pal (17) H A* 0 wegen Index 1	Ven 14 Ura Chi (11) H*(8/3) ---		Hau 100p Ven Mer (00) H H +7? Son 60 Chi Var (03) H T H* --- Sed 23 Mer Mer (06) H --- Eri 10 Ven Mer (14) H H +7?	
Index 2 (12 - 12 UTC)	-28	-7	0	0	0	0	0	0	0	0	
Index 2 ALTERNATIV											
ausgelöste LL-Aspekte	Mar 144 Plu T-4 Cer 135 Plu H5 Ves 144 GaZ H5 Ura 30 Sed A*(3/3)	Mar 144 Plu T-4 Cer 135 Plu H5 Ves 144 GaZ H5 Ura 120 GaZ 70 Ura 30 Sed A*(3/3)	Ves 144 GaZ H5 Ura 120 GaZ A*(2/2)	Auslösung: Mer 45 Nep T -1 Ves 144 GaZ H5 Ura 120 GaZ A*(2/2)	Ves 144 GaZ H5 Ura 120 GaZ A*(2/2)	Ura 30 Sed A*(3/3) Nep 72 Sed T*(0,5/2) 0 / -10 Ura 120 GaZ A*(2/2)	Ura 30 Sed A*(3/3) Nep 72 Sed T*(0,5/2) 0 / -10 Ura 120 GaZ A*(2/2)	Ura 120 GaZ A*(2/2)	Ura 120 GaZ A*(2/2)	Ura 120 GaZ A*(2/2)	
Index 3 (Summe)	6	6	5	4	5	0	0	0	0	0	
Index 3 ALTERNATIV											
Symbol-Prognose	5	5	3	3	3	3	3	3	3	3	
Wochentag	Do	Fr	Sa	So	Mo	Di	Mi	Do	Fr	Sa	
Datum	11	12	13	14	15	16	17	18	19	20	
reale Wetterlage	T3: 2T, Tf / -33	H3: H*, 2H - 4T / +1						T4: T*, T - H*, Hf, H / -4	H4:	---	
Luftdruck (hpa) 06 UTC	1002,5	1003,6	1011,4	1021,3	1029,4	1029,6	1023,1	1014,6	1012,6	1022,2	
mittl. Temp.(°C)	15	16,3	16,3	16,3	16,6	17,8	20,8	19	12,5	12	
Sonnenscheindauer (h)	1,8	5,7	7,1	4,6	13,5	14,1	14	0,6	1,9	7,6	
Niederschlag (Liter)	0,8	3 / 3	5,1 / 10	1,6	0	0	0	16,5 / 5	23,1 / 36	0	
Bodenwetterlage 00 UTC (Kernlage des Druckgebets, das SW-D beeinflusst)	T ü Bisk	T ü SW-GB	Azor-H, T ü GB	H ü CH	H ü CH	H ü SO-D	H ü Österr, Wellen-T ü S-GB	T ü Nsee	T m Kernen ü Benel u D	Azor-H	
Bodenströmung 12 UTC zyklonal (z), antizyklonal (a)	z	a	fl a	a	a	a	z	a	a	a	
Strömung auf 500 hpa 00 UTC	W a-z	S a-z	SW fl a	SW fl a	SW fl z	NW a	a	SW a	S a	SW z	
zutreffende Wettersymbole	5 r	3-5 r	3 r	3-5 hr	2 hr	2 hr	2 hr	3-5 hr	5 hr	3 r	

00:07	03:21	10:41	02:54	00:52	09:05	05:30	00:06	04:07	06:37
Son 144 JUP STI 20°30'14" WAA 14°30'14" T W -3	MER 120 GaZ WID 26°59'18" SCH 26°59'17" A	MER 30 CHI WID 27°51'19" FIS 27°51'18" A	Son 30 ERI STI 23°30'42" WID 23°30'43" A	Son 144 QUA STI 24°23'39" STE 00°23'40" H W +3	MAR 72 KN1 ZWI 17°03'35" LÖW 29°03'34" A	Son 150 SAT STI 26°30'29" SCH 26°30'30" A	MAR 150 JUN ZWI 18°09'28" STE 18°09'29" A	CER 135 EL6 ZWI 08°02'25" WAA 23°02'25" A*	Son 45 VEN STI 29°26'31" WID 14°26'31" AK
02:22	06:38	17:21	08:43	03:01	14:16	08:36	05:56	06:21	10:44
Son 72 VES STI 20°35'40" LÖW 02°35'40" A	VES 144 GaZ LÖW 02°59'17" SCH 26°59'17" H* +5	Son 150 EL6 STI 23°07'40" WAA 23°07'39" T -3	MER 90 VAR WID 28°31'41" KRE 28°31'41" A	MER 120 KN1 WID 29°07'32" LÖW 29°07'33" A	MER 120 QUA STI 00°22'15" STE 00°22'14" A	JUP 150 NEP WAA 14°01'11" FIS 14°01'11" T -6	JUP 45 KN1 WAA 13°57'38" LÖW 28°57'38" H* ---	SAT 120 URA SCH 26°23'15" WID 26°23'15" A*	CER 45 ERI ZWI 08°34'16" WID 23°34'16" A*
02:38	10:21	16:35	21:19	14:34	17:28	08:00	09:29	19:37	
MAR 45 VAR ZWI 13°29'23" KRE 28°29'22" A	MAR 120 JUP ZWI 14°23'12" WAA 14°23'11" T -8	MAR 60 PAL ZWI 15°55'05" WID 15°55'05" A	VEN 45 SED WID 10°53'57" STI 25°53'57" A	Son 0 SED STI 25°54'31" STI 25°54'32" A K?	Son 150 GaZ STI 26°59'19" SCH 26°59'19" A	MER 150 FV9 STI 01°59'56" WAA 01°59'57" Hf +7	Son 60 VAR STI 28°35'39" KRE 28°35'40" T -3	PAL 90 JUN WID 18°00'19" STE 18°00'19" H* +5	
08:18	17:42	17:05	17:05	17:05	15:21	13:06	21:50		
Son 144 SAT STI 20°49'60" SCH 26°49'59" T -6	VEN 120 APO WID 10°00'43" SCH 10°00'43" H W +2	Son 72 NEP STI 26°00'35" FIS 14°00'34" A W	Son 150 GaZ STI 26°59'19" SCH 26°59'19" A	MER 150 GSZ STI 02°18'08" WAA 02°18'10" A	MAR 150 PLU STI 19°11'52" STE 19°11'52" H +4	MAR 150 PLU STI 19°11'52" STE 19°11'52" H +4	MER 144 APO WID 13°52'29" WAA 13°52'29" T ---		
12:09	22:38	22:03	22:03	22:03	15:37	14:13			
Son 144 GaZ STI 20°59'18" SCH 26°59'17" A	MER 45 NEP WID 28°58'45" FIS 13°58'46" T -1	CER 90 ORC ZWI 07°06'15" JUN 07°06'14" A*	Son 30 URA STI 26°16'17" WID 26°16'17" T -3	VEN 144 ORC WID 13°06'07" JUN 07°06'06" T -2	VEN 180 JUP WID 13°52'29" WAA 13°52'29" H +4	VEN 135 KN1 WID 13°53'18" LÖW 28°53'18" T ---			
17:54	18:01	20:07	20:07	20:07	20:07	14:37			
MAR 90 NEP ZWI 13°55'17" FIS 13°55'17" Tf -10	SAT 144 VES SCH 26°48'43" LÖW 02°48'43" A*	Son 60 CHI STI 28°03'29" FIS 28°03'29" H ---	VEN 135 KN1 WID 13°53'18" LÖW 28°53'18" T ---	Son 135 JUP STI 28°52'09" WAA 13°52'09" A	Son 90 KN1 STI 28°53'01" LÖW 28°53'02" AK	VEN 30 NEP WID 14°03'29" FIS 14°03'28" A			
20:15	16:42	19:32	20:20	20:20	20:20				
MER 120 SAT WID 26°48'25" SCH 26°48'25" A	Son 90 KN1 STI 28°53'01" LÖW 28°53'02" AK	VEN 30 NEP WID 14°03'29" FIS 14°03'28" A	Son 144 EL6 STI 29°01'46" WAA 23°01'47" T -6						

Mai 2017



Prognose für SW-Deutschland

Das Besondere des Mai 2017 ist die weiterhin den ganzen Monat bestehende Konjunktion von Makemake mit dem Supergalaktischen Zentrum. Die Konjunktion von Saturn mit dem Galaktischen Zentrum bleibt bis zum 25. Mai im 1°-Toleranzbereich.
Vom 1. bis zum 8. sehr dichte Positionierung zwischen Merkur, Eris und Uranus.
Vom 28. bis zum 30. sehr dichte Positionierung zwischen Venus, Pallas und Eris.
Der unbekannte Aspekt Haumea 180° Eris 7° vermindert die Prognosesicherheit vom 2. bis zum 5. und am 30. und 31. Mai.

Langsamläufer-Impulse	H*		H?, T*				H*, T*				2H*
Schnellläufer-Impulse	T, H	H	2H, Hf, T, Tf		H, Hf		2T	T, 2Hf	2H, Tf	3H, T	3H, T
Temperaturimpulse				W*	W?	W?*			W?		W*
Premeteo-Index -zyklonal, + antizyklonal (Index 1+2+3)	1	7	6	14	3	7	-12	-5	24	4	21
Pre.IX (ALTERNATIV)				9		0	-33				
Index 1 (12 - 12 UTC) exakte Aspekte des Tages	1	7	3	5	3	7	-5	-5	10	-3	14
Index 1 (ALTERNATIV)				0							
Symmetrien (0 - 0 UTC)				Ves 143 Nep Qua (05) A* W? H* +7 Hau 40p Ura Pal (14) H? (5/1,5) A* +7? Ven 50p Jup Hau (18) H H +7?	Hau 40p Ven Ura (18) H H? (5/1,5) +7?	Sed 72 Nep Ves (05) T? (0,5/2) A* A* W? 0 / -7 Mer 15 Ura Sed (07) A? (3/3) --- Ven 36 Nep Sed (19) 0 / -14	Pal 36 Nep Sed (01) T? (0,5/2) 0 / -7 En 3 Ven Ura (05) H A? (2/1) +7 Ven 22 Chi Mer (05) T --- Jup 151 Nep Mer (08) T* T T W -14	En 3 Ura Pal (02) A? (2/1) A* 0 Var 75 Jup Mer (04) T --- Sed 29 Mar Ura (15) T T A? (3/3) A-14	Hau 10p Ven Eri (01) H ? +7 Ven 1 Pal Eri (03) A H +7 Mer 136 Qua Mak (13) H H +14	Mar 10p Sat GaZ (04) A H +7 Cer 46 Ura Var (17) A* A* W? ? ---	Ven 3 Ura Pal (07) T A --- Hau 10p Ven Pal (07) H A* +7 Mer 144 Jup Sat (19) T H A* ?
Index 2 (12 -12 UTC)	0	0	0	7	0	0	-7	0	14	7	7
Index 2 ALTERNATIV							-7	-28			
ausgelöste LL-Aspekte	Ura 120 GaZ A? (2/2)	Ura 120 GaZ A? (2/2)	Son 120 GSZ H3 Ura 120 GaZ A? (2/2) Sed 150 GaZ ?	Mer 144 GSZ T-1 Son 120 GSZ H3 Ura 120 GaZ A? (2/2) Sed 150 GaZ ?	Ura 120 GaZ A? (2/2) Sed 150 GaZ ?					Hau 180 Eri ?	Hau 180 Eri ?
Index 3 (Summe)	0	0	3	2	0	0	0	0	0	0	0
Index 3 ALTERNATIV											
Symbol-Prognose	3	3	3	2	3	3	5	3	2	3	2
Wochentag	So	Mo	Di	Mi	Do	Fr	Sa	So	Mo	Di	Mi
Datum	21	22	23	24	25	26	27	28	29	30	31
reale Wetterlage	3H*, 2Hf, 7H - T*, Tf, 6T / +37						T5: T*, 3T - H*, 2Hf / -17		H5: 2H*, 8H - Tf, 2T / +49		
Luftdruck (hpa) 06 UTC	1027,7	1019,7	1018,6	1024,9	1022	1020,5	1019	1019	1015,3	1014,1	1021,2
mittl. Temp.(°C)	14,1	17,2	20,2	18,9	18,8	20,1	23,2	24,7	25,9	23,2	20,6
Sonnenscheindauer (h)	14,3	13,8	8,9	12,7	12,8	14,5	14,2	14,4	13,9	5,9	12,9
Niederschlag (Liter)	0	0	0	0	0	0	0	0	0	4,9 / 1,5	0
Bodenwetterlage 00 UTC (Kernlage des Druckgebiets, das SW-D beeinflusst)	H ü W-D	H ü N-D	H ü Bisk, H ü SO-D, T s Island	H ü Ärmel	H ü SO-GB	H ü NW-D	T ü SW-GB, H ü NO-D	Wellen-T ü NW-Iber okkl T ü Nsee, H ü Ostern	T ü NW-F, H ü Balk	H ü S-Ital u Balk, T ü Nsee	H ü GB
Bodenströmung 12 UTC zyklonal (z), antizyklonal (a)	a-z	fl a	fl a	a	a	a	fl z	fl z	fl a	fl a	a-z
Strömung auf 500 hpa 00 UTC	a-z	W fl z	NW a	NW a	NNW a	N a	a	a	a	SW a	W a
zutreffende Wettersymbole	2 hr	2 hr	3 r	2 r	2 hr	2 hr	2 f	2 hr	2-3 r	3-5 hr	2 r

03:58	13:00	05:58	03:41	02:14	03:00	05:35	05:42	00:02	01:10	02:06
SON 150 QUA ZWI 00°17'53" STE 00°17'53" T-3	MER 90 VES STI 06°34'42" LÖW 06°34'42" H +1	SON 120 GSZ ZWI 02°18'08" WAA 02°18'09" H +3	PLU 90 PAL STE 19°07'55" WID 19°07'55" A*	SAT 150 SED SCH 26°01'13" STI 26°01'13" A*(7,5/8)	MAR 60 ERI ZWI 23°37'15" WID 23°37'15" A*	CER 180 APO ZWI 11°24'14" SCH 11°24'14" A*	URA 45 CER WID 26°49'28" ZWI 11°49'28" A*	VEN 135 ORC WID 22°06'39" JUN 07°06'38" A*	MER 72 VAR STI 16°45'39" KRE 28°45'39" H +1	PLU 144 CER STE 19°01'06" ZWI 13°01'06" H* +5
17:47	21:23	16:07	03:50	03:05	05:52	06:26	06:01	01:47	03:29	02:40
VES 144 QUA LÖW 06°17'18" STE 00°17'18" H* +5	SON 120 FY9 ZWI 01°57'29" WAA 01°57'30" A	MER 144 FY9 STI 07°57'07" WAA 01°57'08" Hf ---	VEN 90 JUN WID 17°45'51" STE 17°45'51" A	MAR 120 EL6 ZWI 22°57'08" WAA 22°57'08" A	MER 150 APO STI 11°17'39" WAA 13°28'58" LÖW 28°28'58" H* ---	JUP 45 KN1 WAA 13°28'58" LÖW 28°28'58" A	SON 90 ORC ZWI 07°06'30" JUN 07°06'31" A	SON 135 EL6 ZWI 07°53'56" WAA 22°53'56" H +3	MER 135 FY9 STI 16°54'27" WAA 01°54'28" H +2	MAR 60 URA ZWI 26°57'25" WID 26°57'24" A
19:32	23:27	17:21	11:14	03:16	12:20	09:20	07:05	02:02	07:20	03:51
MER 45 MAR STI 05°43'30" ZWI 20°43'30" H +1	MER 120 ORC STI 07°06'03" JUN 07°06'02" A	MAR 45 VES ZWI 22°00'31" LÖW 07°00'31" H +4	CHI 72 CER FIS 28°14'53" ZWI 10°14'53" A* W*	SON 135 PLU ZWI 04°07'00" STE 19°07'01" H +3	VES 72 SED LÖW 08°02'20" STI 26°02'20" A*	CER 144 JUN ZWI 11°28'09" STE 17°28'09" T*-5	MER 60 NEP STI 14°09'53" FIS 14°09'54" T W -2	CHI 150 KN1 FIS 28°23'12" LÖW 28°23'12" A	MER 120 JUN STI 17°09'08" STE 17°09'07" A	MAR 180 GAZ ZWI 26°59'23" SCH 26°59'23" H +8
18:18	18:18	18:18	16:23	15:26	17:23	18:19	06:56	09:41	12:04	16:58
SON 135 JUN ZWI 02°47'46" STE 17°47'46" T-3	VEN 90 PLU WID 19°06'31" STE 19°06'30" A	VEN 0 PAL WID 19°58'03" WID 19°58'03" A	MER 45 CHI STI 13°20'52" FIS 28°20'51" T-1	MAR 72 ORC ZWI 25°06'32" JUN 07°06'32" Hf ---	MAR 30 SED ZWI 26°04'55" WID 23°39'29" Tf -10	MAR 180 SAT ZWI 25°44'21" SCH 25°44'22" A	MER 135 GSZ STI 17°18'07" WAA 02°18'08" H +4	MER 120 JUN STI 17°09'08" STE 17°09'07" A	MER 144 JUP STI 19°20'05" WAA 13°20'06" T ---	17:50
21:50	22:51	23:25	16:51	19:25	22:02	20:37	20:18	20:37	20:01	20:13
VAR 30 KN1 KRE 28°39'38" LÖW 28°39'38" H? (10/4,5) +11	MER 144 GSZ STI 08°18'08" WAA 02°18'08" Tf -7	MER 72 KN2 STI 10°33'56" WAS 28°33'57" A	MER 72 KN2 STI 10°33'56" WAS 28°33'57" A	NEP 144 VES FIS 14°08'56" LÖW 08°08'56" A* W?*	MER 30 CER STI 10°51'15" ZWI 10°51'15" Hf +7	MER 135 SAT STI 10°57'38" SCH 25°57'39" A W?	VEN 180 EL6 WID 22°53'22" WAA 22°53'21" H W? +4	SON 60 VES ZWI 09°43'20" FIS 28°27'31" T kurz-3	SON 72 CHI ZWI 10°27'31" FIS 28°27'31" H +3	JUP 120 CER WAA 13°19'54" ZWI 13°19'53" H* W* +5
23:25	23:25	23:25	23:25	23:25	23:25	23:25	23:25	23:25	23:25	23:25
VES 30 ORC LÖW 07°06'04" JUN 07°06'04" T* --- / -5	VEN 180 EL6 WID 22°53'22" WAA 22°53'21" H W? +4	SON 60 VES ZWI 09°43'20" FIS 28°27'31" T kurz-3	SON 72 CHI ZWI 10°27'31" FIS 28°27'31" H +3	JUP 120 CER WAA 13°19'54" ZWI 13°19'53" H* W* +5	URA 120 GAZ WID 26°59'23" SCH 26°59'23" A? (2/2)	MAR 144 SAT STI 19°33'43" SCH 25°33'45" H +1	20:24	20:24	20:24	20:24

03.06.2017
Mai 2017
01.05.2017



Prognose für SW-Deutschland

In Index 3 korrigiert

Das Besondere des Mai 2017 ist die weiterhin den ganzen Monat bestehende Konjunktion von Makemake mit dem Supergalaktischen Zentrum. Die Konjunktion von Saturn mit dem Galaktischen Zentrum bleibt bis zum 25. Mai im 1°-Toleranzbereich.
 Vom 1. bis zum 8. sehr dichte Positionierung zwischen Merkur, Eris und Uranus.
 Vom 28. bis zum 30. sehr dichte Positionierung zwischen Venus, Pallas und Eris.
 Der unbekannte Aspekt Haumea 180° Eris ?? vermindert die Prognosesicherheit vom 2. bis zum 5. und am 30. und 31. Mai.

Langsamläufer-Impulse		T?*		H*		H*		2H*		H*		
Schnellläufer-Impulse	2H	2T	H		H, Tf	H		2T	Hf	2T, H		
Temperaturimpulse		W			W	K				K		
Premeteo-Index - zyklonal, + antizyklonal (Index 1+2+3)	8	9	4	0	6	-2	-35	4	14	4		
Pre.IX (ALTERNATIV)		-1										
Index 1 (12 - 12 UTC) exakte Aspekte des Tages	8	-5	4	0	6	-9	-4	7	14	4		
Index 1(ALTERNATIV)		-15										
Symmetrien (0 - 0 UTC)	Pal 14 Ura Chi (14) H* (8/3) --- Mer 1 Ura Eri (17) A H +7	Qua 151 Ves Cer (16) H* A* T* +7 Jup 75 Ves Qua (21) H* ---				Mer 1 Ura Eri (12) A H +7 Son 136 Qua Mak (16) Tf T ? -14 Son 136 Qua GSZ (18) Tf T ? -14	Jup 10cp Ven Mer (10) H A +??	Sed 8 Son Cer (10) A T* -?? Ven 8 Chi Pal (20) Tst A ---	Jup 9cp Ven Eri (00) H A*(5:5) +?? Son 23 Mar Mer (08) H --- Jup 72 Ves GaZ (22) A* A* H* ---	GSZ 5cp Ven Chi (10) A ? --- Cer 9 Mar Sed (14) A T* -??		
Index 2 (12 - 12 UTC)	0	14	0	0	0	7	-28	0	0			
Index 2 ALTERNATIV												
ausgelöste LL-Aspekte	Ura 30 Sed A7*(3/3) Nep 135 Var H*(11/3,5) +10	Eri 135 Apo H11 Hau 180 Eri ?*	Mar 45 Eri H4 Eri 135 Apo H11 Hau 180 Eri ?*	Mar 45 Eri H4 Eri 135 Apo H11 Hau 180 Eri ?*	Mar 45 Eri H4 Eri 135 Apo H11 Hau 180 Eri ?*	Eri 135 Apo H11	Son 135 GSZ T-3	Son 135 GSZ T-3 Cer 135 Plu H5 Ura 30 Sed A7*(3/3)	Cer 135 Plu H5 Ura 30 Sed A7*(3/3)	Mar 144 Plu T-4 Cer 135 Plu H5 Ves 144 GaZ H5 Ura 30 Sed A7*(3/3)		
Index 3 (Summe)	0	0	0	0	0	0	-3	-3	0	0		
Index 3 ALTERNATIV												
Symbol-Prognose	3	3	3	3	3	3	5	3	2	3		
Symbol-Prognose altern.	3	3	3	3	3	3	5	3	2	3		
Wochentag	Mo	Di	Mi	Do	Fr	Sa	So	Mo	Di	Mi		
Datum	1	2	3	4	5	6	7	8	9	10		
reale Wetterlage	T1: T?*, 2T - H*, 3H / +21				H1: H - Tf / +6		T2: 2T - H*, H / -37				H2: 3H*, Hf, H - 2T / +22	
Luftdruck (hpa) 06 UTC	1012,1	1016,8	1018,3	1016,2	1019,2	1012,3	1014,1	1018,3	1019,9	1011,8		
mittl. Temp.(°C)	9,2	11,5	11,8	10,7	13,3	11,6	12,4	10,4	9,9	12,5		
Sonnenscheindauer (h)	0	6,8	4	1,9	9,3	1,2	0	0	6,7	13,9		
Niederschlag (Liter)	10 / 6	0,4 / ...	0,4 / 7	2,2 / 3,5	0 / 2,5	12,8 / 12	9 / 9	1,7 / 13,5	0 / 1	0,1		
Bodenwetterlage 00 UTC (Kernlage des Druckgebiets, das SW-D beeinflusst)	T ü Ärmel	T ü NW-F, T ü O-D, T ü Balk	T ü NW-D	okkl T ü S-D	H ü NmT ü Balk	T vor NW-F	T ü W-D	H ü Grönl, T ü Weiss-R	H ü N-Atl	ü Österr.H ü S-G		
Bodenströmung 12 UTC zyklonal (z), antizyklonal (a)	fl a	fl z	z	z	a	z	fl z	fl a	a	fl a		
Strömung auf 500 hpa 00 UTC	SW z	W z	z	z	z	NW a-z	z	NW z	fl z	NW a-z		
zutreffende Wettersymbole	5 hr	3 r	5 hr	5 hr	3 r	3-5 hr	5 r	5 hr	2-5 r	2 hr		

Übertrag	01:42	00:48	03:59	00:52	00:11	15:00	01:54	06:13	10:04	00:40
Index 1: +5	CER 150 QUA	SON 72 KN2	VEN 180 GSZ	SON 60 NEP	MER 45 MAR	PAL 144 ORC	MAR 45 URA	SAT 0 GaZ	MAR 144 JUN	MER 30 SED
Index 2: 0	ZWI 00°34'41"	STI 11°49'09"	WID 02°18'12"	STI 13°45'42"	WID 24°19'59"	WID 13°08'24"	ZWI 10°44'49"	SCH 26°59'16"	ZWI 12°20'26"	WID 25°49'19"
	STE 00°34'41"	WAS 29°49'09"	WAA 02°18'12"	FIS 13°45'43"	ZWI 09°19'59"	JUN 07°08'23"	WID 25°44'49"	SCH 26°59'16"	STE 18°20'26"	STI 25°49'20"
	A*	T W -3	A	A W	H +1	H* +5	A	H* (7,5/0,5) +7	A	T -1
	10:00	04:57	11:19	07:12	06:27	19:20	12:06	09:21	14:01	03:42
	VEN 72 PLU	SON 135 GaZ	JUP 72 SAT	MAR 180 APO	MAR 72 CHI	SON 72 VAR	SON 135 Fy9	VEN 144 KN1	VES 60 Fy9	PLU 135 CER
	WID 01°22'10"	STI 11°59'14"	WAA 15°12'14"	ZWI 08°50'58"	ZWI 09°30'41"	STI 16°26'39"	STI 17°07'13"	WID 05°28'57"	LÖW 02°05'39"	STE 19°18'17"
	STE 19°22'09"	SCH 26°59'14"	SCH 27°12'15"	SCH 08°50'57"	FIS 27°30'42"	KRE 28°26'40"	WAA 02°07'12"	LÖW 29°28'57"	WAA 02°05'39"	ZWI 04°18'17"
	A	A	A*	A	A	H---	T -3	A	A*	H* +5
	14:14	06:22	12:08	17:20	06:54	16:38	17:07	18:25	05:14	
	SON 30 PAL	NEP 72 SED	MAR 135 EL6	VES 150 QUA	CER 120 GSZ	SON 135 GSZ	NEP 30 PAL	SON 120 PLU	VES 60 GSZ	
	STI 11°23'31"	FIS 13°43'17"	ZWI 08°18'21"	LÖW 00°32'08"	ZWI 02°18'11"	STI 17°18'10"	FIS 13°51'43"	STI 19°18'30"	LÖW 02°18'10"	
	WID 11°23'31"	STI 25°43'18"	WAA 23°18'21"	STE 00°32'07"	WAA 02°18'12"	WAA 02°18'11"	WID 13°51'43"	STE 19°18'30"	WAA 02°18'11"	
	H +3	T*(0,5/2) 0 / 10	A	H* +5	A*	T -6	H* (7,5/0,5) +5	A	A	
	20:18	08:25	15:41	22:10	08:01	18:48	18:18	05:19		
	MAR 90 ORC	VES 30 KNH	MAR 45 ERI	CER 120 Fy9	SON 150 JUP	CER 135 JUN	SON 120 JUN	MER 0 URA		
	JUN 07°10'09"	KRE 29°48'08"	ZWI 08°24'26"	WAA 02°09'14"	STI 15°01'10"	ZWI 03°19'42"	STI 18°20'14"	WID 25°54'59"		
	JUN 07°10'09"	LÖW 29°48'08"	WID 23°24'25"	WAA 02°09'14"	WAA 15°01'09"	STE 18°19'42"	STE 18°20'15"	WID 25°54'59"		
	H +4	A*	H +4	A*	A K	A*	Hf +9	A K		
		11:20		15:53		23:17		05:30		
		SON 135 SAT		JUP 72 GaZ		URA 30 SED		PAL 135 KN1		
		STI 12°14'43"		WAA 14°59'15"		WID 25°47'43"		WID 14°23'06"		
		SCH 27°14'43"		SCH 26°59'15"		STI 25°47'43"		LÖW 29°23'06"		
		T -6		A*		A?*(3/3)		A*		
		14:58		20:27				15:49		
		SON 45 CHI		SON 135 QUA				JUP 180 PAL		
		STI 12°23'31"		STI 15°31'16"				WAA 14°31'60"		
		FIS 27°23'30"		STE 00°31'17"				WID 14°31'59"		
		A		Tf -9				A*		
		22:39						19:04		
		VEN 180 Fy9						VEN 150 ORC		
		WID 02°10'51"						WID 07°07'14"		
		WAA 02°10'51"						JUN 07°07'14"		
		A						H +2		
								19:52		
								MAR 144 PLU		
								ZWI 13°17'53"		
								STE 19°17'54"		
								T -4		
								20:42		
								JUP 72 VES		
								WAA 14°30'58"		
								LÖW 02°30'58"		
								A*		

Mai 2017



Prognose für SW-Deutschland

Im Index 3 korrigiert

Das Besondere des Mai 2017 ist die weiterhin den ganzen Monat bestehende Konjunktion von Makemake mit dem Supergalaktischen Zentrum. Die Konjunktion von Saturn mit dem Galaktischen Zentrum bleibt bis zum 25. Mai im 1°-Toleranzbereich.
 Vom 1. bis zum 8. sehr dichte Positionierung zwischen Merkur, Eris und Uranus.
 Vom 28. bis zum 30. sehr dichte Positionierung zwischen Venus, Pallas und Eris.
 Der unbekannte Aspekt Haumea 180° Eris ?° vermindert die Prognosesicherheit vom 2. bis zum 5. und am 30. und 31. Mai.

Langsamläufer-Impulse		H*					T*	H*		H*
Schnellläufer-Impulse	2T, Tf	T	T	H, T	H	T		Hf, T, H	3T, 2H	T
Temperaturimpulse	W				W	W	K?, W		K	K
Premeteo-Index - zyklonal, + antizyklonal (Index 1+2+3)	-39	-20	0	-4	4	0	-9	5	5	-6
Pre.IX (ALTERNATIV)										
Index 1 (12 - 12 UTC) exakte Aspekte des Tages	-11	-13	0	-3	4	0	-9	5	5	-6
Index 1 (ALTERNATIV)										
Symmetrien (0 - 0 UTC)	Son 144 Jup Sat (04) T W T A* -14 Son 144 Jup GaZ (06) T W A A* -7 Jup 76 Var Qua (10) Tat* --- Sat 144 Son Ves (11) T A* A* -7 Ves 72 Son Jup (13) A A* T W -7 GaZ 144 Son Ves (18) A H* A* --- Son 67 Nep Var (18) H*(113,6) --- Mer 29 Chi Sed (21) A T ? ---	Ven 60p Jup Mak (08) H A +7? Ven 60p Jup GSZ (12) H A +7?		Ura 3 Eri Mer (17) A*(2/1) A Auslösung Index3	Hau 70p Pal Mer (23) A* H +7?		Eri 7 Pal Mer (17) A* H +7? Jup 30p Ven Pal (17) H A* 0 wegen Index 1	Ven 14 Ura Chi (11) H*(6/3) ---		Hau 100p Ven Mer (00) H H +7? Son 60 Chi Var (03) H T H* --- Sed 23 Mar Mer (06) H --- Eri 10 Ven Mer (14) H H +7?
Index 2 (12 - 12 UTC)	-28	-7	0	0	0	0	0	0	0	0
Index 2 ALTERNATIV										
ausgelöste LL-Aspekte	Mar 144 Plu T-4 Cer 135 Plu H5 Ves 144 GaZ H5 Ura 30 Sed A*(3/3)	Mar 144 Plu T-4 Cer 135 Plu H5 Ves 144 GaZ H5 Ura 120 GaZ A*(2/2) Ura 30 Sed A*(3/3)	Ves 144 GaZ H5 Ura 120 GaZ A*(2/2)	Auslösung: Mer 45 Nep T-1 Ves 144 GaZ H5 Ura 120 GaZ A*(2/2)	Ves 144 GaZ H5 Ura 120 GaZ A*(2/2)	Ura 30 Sed A*(3/3) Nep 72 Sed T*(0,5/2) 0/1-10 Ura 120 GaZ A*(2/2)	Ura 30 Sed A*(3/3) Nep 72 Sed T*(0,5/2) 0/1-10 Ura 120 GaZ A*(2/2)	Ura 120 GaZ A*(2/2)	Ura 120 GaZ A*(2/2)	Ura 120 GaZ A*(2/2)
Index 3 (Summe)	0	0	0	-1	0	0	0	0	0	0
Index 3 ALTERNATIV										
Symbol-Prognose	5	5	3	3	3	3	3	3	3	3
Wochentag	Do	Fr	Sa	So	Mo	Di	Mi	Do	Fr	Sa
Datum	11	12	13	14	15	16	17	18	19	20
reale Wetterlage	T3: 2T, Tf / -39	H3: H*, 2H - 4T / -20					T4: T*, T - H*, Hf, H / -4	H4:		---
Luftdruck (hpa) 06 UTC	1002,5	1003,6	1011,4	1021,3	1029,4	1029,6	1023,1	1014,6	1012,6	1022,2
mittl. Temp.(°C)	15	16,3	16,3	16,3	16,6	17,8	20,8	19	12,5	12
Sonnenscheindauer (h)	1,8	5,7	7,1	4,6	13,5	14,1	14	0,6	1,9	7,6
Niederschlag (Liter)	0,8	3 / 3	5,1 / 10	1,6	0	0	0	16,5 / 5	23,1 / 36	0
Bodenwetterlage 00 UTC (Kernlage des Druckgebiets, das SW-D beeinflusst)	T ü Bisk	T ü SW-GB	Azor-H,T ü GB	H ü CH	H ü CH	H ü SO-D	H ü Österr, Wellen-T ü S-GB	T ü Nsee	T m Kernen ü Benel u D	Azor-H
Bodenströmung 12 UTC zyklonal (z), antizyklonal (a)	z	a	fl a	a	a	a	z	a	a	a
Strömung auf 500 hpa 00 UTC	W a-z	S a-z	SW fla	SW fl a	SW fl z	NW a	a	SW a	S a	SW z
zutreffende Wettersymbole	5 r	3-5 r	3 r	3-5 hr	2 hr	2 hr	2 hr	3-5 hr	5 hr	3 r

00:07	03:21	10:41	08:54	00:52	09:05	05:30	00:06	04:07	06:37
Son 144 JUP STI 20°30'14" WAA 14°30'14" T W -3	MER 120 GaZ WID 26°59'18" SCH 26°59'17" A	MER 30 CHI WID 27°51'19" FIS 27°51'18" A	Son 30 ERI STI 23°30'42" WID 23°30'43" A	Son 144 QUA STI 24°23'39" WID 29°07'32" H W +3	MAR 72 KN1 STI 17°03'35" LÖW 29°03'34" A	Son 150 SAT STI 26°30'29" SCH 26°30'30" A	MAR 150 JUN ZWI 18°09'28" STE 18°09'29" A	CER 135 EL6 ZWI 08°02'25" WAA 23°02'25" A*	Son 45 VEN STI 29°26'31" WID 14°26'31" A K
02:22	06:38	17:21	08:43	03:01	14:16	08:36	05:56	06:21	10:44
Son 72 VES STI 20°35'40" LÖW 02°35'40" A	Ves 144 GaZ LÖW 02°59'17" SCH 26°59'17" H* +5	Son 150 EL6 STI 23°07'40" WAA 23°07'39" T -3	MER 90 VAR WID 28°31'41" KRE 28°31'41" A	MER 120 KN1 WID 29°07'32" STE 00°23'40" A	MER 120 QUA STI 00°22'15" STE 00°22'14" A	JUP 150 NEP WAA 14°01'11" LÖW 26°23'15" H* ---	JUP 45 KN1 WAA 13°57'38" LÖW 26°23'15" H* ---	SAT 120 URA SCH 26°23'15" WID 26°23'15" A*	CER 45 ERI ZWI 08°34'16" WID 23°34'16" A*
02:38	10:21	16:35	21:19	14:34	17:28	08:00	09:29	19:37	
MAR 45 VAR ZWI 13°29'23" KRE 28°29'22" A	MAR 120 JUP ZWI 14°23'12" WAA 14°23'11" T -8	MAR 60 PAL ZWI 15°55'05" WID 15°55'05" A	VEN 45 SED WID 10°53'57" STI 25°53'57" A	Son 0 SED STI 25°54'31" STI 25°54'32" A K?	Son 150 GaZ STI 26°59'19" SCH 26°59'19" A	MER 150 FY9 STI 01°59'56" WAA 01°59'57" Hf +7	Son 60 VAR STI 28°35'39" KRE 28°35'40" T -3	PAL 90 JUN WID 18°00'19" STE 18°00'19" H* +5	
08:18		17:42	17:05	17:05	17:05	15:21	13:06	21:50	
Son 144 SAT STI 20°49'60" SCH 26°49'59" T -6		VEN 120 APO WID 10°00'43" SCH 10°00'43" H W +2	Son 72 NEP STI 26°00'35" FIS 14°00'34" A W			MER 150 GSZ STI 02°18'08" WAA 02°18'10" A	MAR 150 PLU STI 19°11'52" STE 19°11'52" H +4	MER 144 APO STI 04°41'59" SCH 10°41'58" T -1	
12:09		22:38	22:03	22:03	22:03	15:37	14:13		
Son 144 GaZ STI 20°59'18" SCH 26°59'17" A		MER 45 NEP WID 28°58'45" FIS 13°58'46" T -1	CER 90 ORC ZWI 07°06'15" JUN 07°06'14" A*			VEN 144 ORC WID 13°06'07" JUN 07°06'06" T -2	VEN 180 JUP WID 13°52'29" WAA 13°52'29" H +4		
17:54		23:36	23:36	23:36	23:36	20:07	14:37		
MAR 90 NEP ZWI 13°55'17" FIS 13°55'17" Tf -10		Son 30 URA STI 26°16'17" WID 26°16'17" T -3				Son 60 CHI STI 28°03'29" FIS 28°03'29" H ---	VEN 135 KN1 WID 13°53'18" LÖW 28°53'18" T ---		
18:01							16:20		
SAT 144 VES SCH 26°48'43" LÖW 02°48'43" A*							Son 135 JUP STI 28°52'09" WAA 13°52'09" A		
20:15							16:42		
MER 120 SAT WID 26°48'25" SCH 26°48'25" A							Son 90 KN1 STI 28°53'01" LÖW 28°53'02" A K		
							19:32		
							VEN 30 NEP WID 14°03'29" FIS 14°03'28" A		
							20:20		
							Son 144 EL6 STI 29°01'46" WAA 23°01'47" T -6		

Mai 2017: Fehlprognosen

Datum	Vorzeichen Symbol	Analyse
1.	+18 5 f	Tief Utz über Ärmelkanal. Merkur, der sich in einer rückläufigen Schleifenbewegung befand, kam gerade in seiner Positionierung zwischen Uranus und Eris in den relativen Bewegungsstillstand, um dann am 3. Mai wieder in die rechtläufige Bewegung überzugehen. Der im Index 3 korrigierte Premeteo-Index lag dem realen Wetterverlauf näher als der unkorrigierte Index. Auffallend war die ausgeprägte Tiefdruckströmung auf 500 hpa. Kältepol über Südwestfrankreich.
2.	+20 3 hr	Tief Utz I, II und III über Nordwestfrankreich, Ostdeutschland und Nordwestbalkan. Analyse siehe 1. Mai. Der positive Indexwert kam zum Teil aus der Merkur-Symmetrie zwischen Uranus und Eris. Andererseits waren der Index 1 und vor allem der alternative Index 1 negativ, da hier der noch relativ unbekannte Aspekt Neptun 72° Sedna als T*-Aspekt angerechnet wurde. So sprach der Wetterlauf dafür, dass er tatsächlich einen zyklonalen Impuls trägt. Ausgeprägte Tiefdruckströmung auf 500 hpa. Kältepol über Nordwestfrankreich und französische Alpen.
3.	+19 5 f	Tief Utz über Nordwestdeutschland. Ausgeprägte Tiefdruckströmung auf 500 hpa. Kältepol über Nordwestschweiz.
4.	+15 5 f	Okkludiertes Tief Viktor über Süddeutschland. Der Verlauf des unkorrigierten Premeteo-Index weicht stark vom realen Wetterverlauf ab, während der im Index 3 korrigierte Premeteo-Index recht gut mit dem Luftdruckverlauf übereinstimmt.
6.	+9 3-5 hr	Tief Werner vor Nordwestfrankreich. Flacher Index. Am folgenden Tag Premeteo-Index von -35. Zwei Symmetrien der Sonne um 16 und 18 UTC, als der reale Tiefdruckdurchgang auch sein Luftdruckminimum aufwies. Die Sonne befand sich in 135° zu Quaoar, sowie zu Makemake und dem Supergalaktischen Zentrum (GSZ). Die zugrunde liegenden Winkelbeziehungen tragen alle einen zyklonalen Impuls und zeigten, welche ausgeprägten Lokalbezug sie tatsächlich zur südwestdeutschen Region haben. Sie wurden erst dem 7. Mai zugerechnet.
12.	-14 3-5 hr	Tief Zeno über Südwestengland. Um 12 UTC befand sich Südwestdeutschland bereits in einer ganz flachen, antizyklonalen Strömung, so dass dieser Tag gemäß der Premeteo-Regel schon zur folgenden Hochdruckphase gezählt werden musste.
18.	+5 5 hr	Tief Christian über Nordsee. Der Übergang in die Zyklonalität durch Tief Christian über Südengland vollzog sich am 17. schon bis 12 UTC bei negativem Index, aber der tiefste Druck wurde erst am 18. erreicht, als sich der Premeteo-Index bereits wieder im positiven Bereich befand. Flacher Index.
20.	-6 3 r	Hoch Vesna über Süddeutschland. Hoch Vesna war Teil des Azorenhochkeils der sich mit der starken Abkühlung nach dem Tiefdruckdurchgang des Vortags etablierte. Auf 500 hpa wurde für diesen Tag und bei einem Premeteo-Index von -6 der Vorstoß eines Tiefdrucktrogs von Nordwesten bis über unsere Region auffallend. Sein Kältepol lag über Nordwestfrankreich Flacher Index, auf 500 hpa zyklonal.

Mai 2017: Fehlprognosen (im Index 3 korrigierte Prognose)

Datum	Vorzeichen Symbol	Analyse
1.	+8 5 hr	Tief Utz über Ärmelkanal. Merkur, der sich in einer rückläufigen Schleifenbewegung befand, kam gerade in seiner Positionierung zwischen Uranus und Eris in den relativen Bewegungsstillstand, um dann am 3. Mai wieder in die rechtläufige Bewegung überzugehen. . Der im Index 3 korrigierte Premeteo-Index lag dem realen Wetterverlauf näher als der unkorrigierte Index. Auffallend war die ausgeprägte Tiefdruckströmung auf 500 hpa. Kältepol über Südwestfrankreich. Flacher Index.
2.	+9 3 r	Tief Utz I, II und III über Nordwestfrankreich, Ostdeutschland und Nordwestbalkan. Analyse siehe 1. Mai. Der positive Indexwert kam zum Teil aus der Merkur-Symmetrie zwischen Uranus und Eris. Andererseits war der alternative Premeteo-Index negativ, da hier der noch relativ unbekannte Aspekt Neptun 72° Sedna als T*-Aspekt angerechnet wurde. So sprach der Wetterlauf dafür, dass er tatsächlich einen zyklonalen Impuls trägt. Ausgeprägte Tiefdruckströmung auf 500 hpa. Kältepol über Nordwestfrankreich und französische Alpen. Flacher Index.
3.	+4 5 hr	Tief Utz über Nordwestdeutschland. Ausgeprägte Tiefdruckströmung auf 500 hpa. Kältepol über Nordwestschweiz. Flacher Index.
12.	-20 3-5 hr	Tief Zeno über Südwestengland. Um 12 UTC befand sich Südwestdeutschland bereits in einer ganz flachen, antizyklonalen Strömung, so dass dieser Tag gemäß der Premeteo-Regel schon zur folgenden Hochdruckphase gezählt werden musste.
14.	-4 3-5 hr	Hoch Tilly über Südfrankreich. Noch wechselhaftes Wetter, mit labiler Schichtung und lokalen Gewittern. Flacher Index.
18.	+5 5 hr	Tief Christian über Nordsee. Der Übergang in die Zyklonalität durch Tief Christian über Südengland vollzog sich am 17. schon bis 12 UTC bei negativem Index, aber der tiefste Druck wurde erst am 18. erreicht, als sich der Premeteo-Index bereits wieder im positiven Bereich befand. Flacher Index.
20.	-6 3 r	Hoch Vesna über Süddeutschland. Hoch Vesna war Teil des Azorenhochkeils der sich mit der starken Abkühlung nach dem Tiefdruckdurchgang des Vortags etablierte. Auf 500 hpa wurde für diesen Tag und bei einem Premeteo-Index von -6 der Vorstoß eines Tiefdrucktrogs von Nordwesten bis über unsere Region auffallend. Sein Kältepol lag über Nordwestfrankreich Flacher Index, auf 500 hpa zyklonal.